

볼밀링한 $\text{WO}_3\text{-CuO}$ 나노복합분말의 조성에 따른 수소환원 거동

정성수 · 강윤성 · 이재성*
한양대학교 금속재료공학과

The Effect of Composition on Hydrogen Reduction Behavior of Ball-milled $\text{WO}_3\text{-CuO}$ Nanocomposite Powders

Sung-Soo Jung, Yun-Sung Kang and Jai-Sung Lee*

Department of Metallurgy and Materials Science, Hanyang University, Ansan 426-791, Korea

(Received May 23, 2006; Accepted June 17, 2006)

Abstract The effect of Cu content on hydrogen reduction behavior of ball-milled $\text{WO}_3\text{-CuO}$ nanocomposite powders was investigated. Hydrogen reduction behavior and reduction percent(α) of nanopowders were characterized by thermogravimetry (TG) and hygrometry measurements. Activation energy for hydrogen reduction of WO_3 nanopowders with different Cu content was calculated at each heating rate and reduction percent(α). The activation energy for reduction of WO_3 obtained in this study existed in the ranging from 129 to 139 kJ/mol, which was in accordance with the activation energy for WO_3 powder reduction of conventional micron-sized.

Keywords : W-Cu, Nanocomposite powder, Hydrogen reduction, Activation energy, Reduction kinetics

1. 서 론

우수한 내아크성(arc resistance), 내마모성(wear resistance), 낮은 열팽창계수, 높은 열 및 전기 전도도를 가진 W-Cu 복합재료는 초고압 전기접점재료와 동적 부하상태에서 고밀도와 고연성을 만족해야 하는 방위산업용 전략소재로 사용되고 있다^{1,2)}. 일반적으로 W-Cu 복합재료는 용침법으로 제조된다³⁾. 용침 공정은 치밀화를 쉽게 이를 수 있지만, W-Cu의 조성제어가 어려우며, W 원자의 Cu 기지에 대한 매우 낮은 고용도(~10⁻⁵at%)로 인해 완전치밀화는 매우 어려운 것으로 보고되고 있다.^{4,5)} 이러한 문제점을 해결하기 위한 방안으로 소결성을 극대화시킨 W-Cu 나노복합분말을 이용하는 방안이 제안되었다.

Lee 등에 의해 제시된 볼밀한 W-Cu 산화물 분말을 수소환원하여 나노복합분말을 합성하는 공정은 취성이 높은 금속산화물을 단시간 분쇄/혼합한 후 수소환원을 실시하기 때문에 불순물 혼입이 극소화된 W-

Cu 나노복합분말을 얻을 수 있다⁴⁾. 이렇게 제조된 W-Cu 나노복합분말은 미세한 입자크기와 W과 Cu의 균일한 혼합특성으로 인해 1200°C 이하의 낮은 온도에서 완전치밀화에 도달하는 우수한 소결특성을 나타낸다⁵⁾.

최적의 환원공정을 통해 제조된 환원분말의 균일한 혼합특성과 입자크기의 미세화는 최종 소결체의 완전치밀화를 가능하게 한다. 따라서 환원분말의 특성은 최종 소결체의 특성에 매우 큰 영향을 미치며, 이에 따라 환원공정의 최적화는 매우 중요하다. 또한 환원분말의 특성은 먼저 환원된 금속입자의 미세구조에 크게 의존하기 때문에 환원기구의 해석을 통한 최적의 환원공정이 요구된다. 그러나 환원공정의 최적화가 매우 중요함에도 불구하고, $\text{WO}_3\text{-CuO}$ 혼합분말의 환원기구 해석에 대한 연구는 거의 진행되지 않았다.

따라서 본 연구에서는, $\text{WO}_3\text{-CuO}$ 혼합분말의 수소환원 공정 최적화를 위하여, 수소환원시 Cu가 WO_3

*Corresponding Author : [Tel : +82-31-400-5225; E-mail : jslee@hanyang.ac.kr]

의 환원에 미치는 영향을 hygrometry를 이용하여 환원시 발생된 수증기량의 측정을 통해 정량적으로 확인하고자 하였으며, 이를 위해 $\text{WO}_3\text{-CuO}$ 복합분말의 Cu 첨가량에 따른 WO_3 의 수소환원 거동을 속도론적 관점에서 조사하였다. 이때 hygrometry curve를 이용하여 Cu 첨가량에 따른 WO_3 의 환원시 환원량을 10~100% 범위까지 10%씩 나누어 각 환원 구간에서의 환원시 활성화 에너지를 계산하였으며, 이를 통해 WO_3 의 환원에 미치는 Cu의 영향을 조사하였다.

2. WO_3 나노분말의 수소환원 반응 kinetics

금속산화물은 수소와 반응하여 금속상과 함께 수증기를 형성하기 때문에 환원시 발생되는 수증기의 방출속도를 실시간으로 측정함으로써 금속산화물의 환원량(α)을 알 수 있고, 이를 이용하여 금속산화물 분말의 환원기구를 해석할 수 있다. 일반적으로, 승온속도 조건에서 진행되는 산화물의 환원반응 kinetics 실험의 경우, Kissinger method를 이용하여 환원시 활성화 에너지를 구할 수 있다⁶⁾. T_m 즉, 최대의 환원율이 나타날 때의 온도를 이용하는 Kissinger method는 Eq. (1)을 이용하여 등온조건에서의 실험에 비해 보다 편리하게 활성화 에너지를 구할 수 있는 장점이 있다.

$$\ln\left(\frac{\Phi}{T_m^2}\right) = -\frac{Q}{RT_m} + \ln\left(\frac{RC}{Q}\right) \quad (1)$$

여기서, Φ 는 승온속도, T_m 은 최대의 환원율이 나타날 때의 온도, R 은 기체상수, Q 는 활성화 에너지, C 는 상수를 나타낸다. 그러나 Kissinger equation에 나타나는 T_m 값의 경우, 단일 단계로 환원반응이 진행되는 경우에는 적용이 가능하지만, WO_3 의 경우처럼 여러 단계를 거쳐 환원반응이 진행될 경우에는 각 단계마다 환원파크가 형성되고, 그에 상응하는 서로 다른 T_m 값들이 존재하기 때문에 전체 환원반응에 대한 걸보기 활성화 에너지는 구할 수 있으나, 각 구간에서의 명확한 환원기구 해석은 불가능하다.

이러한 문제를 해결하기 위해 본 연구에서는 수소 환원시 측정한 hygrometry curve로부터 구한 각 α 값에 상응하는 온도(T_i)를 T_m 값 대신 적용하여, 각 환원구간에서의 환원기구를 Kissinger equation의 변환된 Eq. (1-1)을 이용하여 정량적으로 해석하고자 하였다.

$$\ln\left(\frac{\Phi}{T_i^2}\right) = -\frac{Q}{RT_i} + \ln\left(\frac{RC}{Q\alpha^n}\right) \quad (1-1)$$

여기서, α 는 환원량, T_i 는 각 환원량에 대응하는 온도이다.

그림 1은 WO_3 환원시 발생되는 수증기를 실시간으로 측정한 hygrometry curve이다. WO_3 는 크게

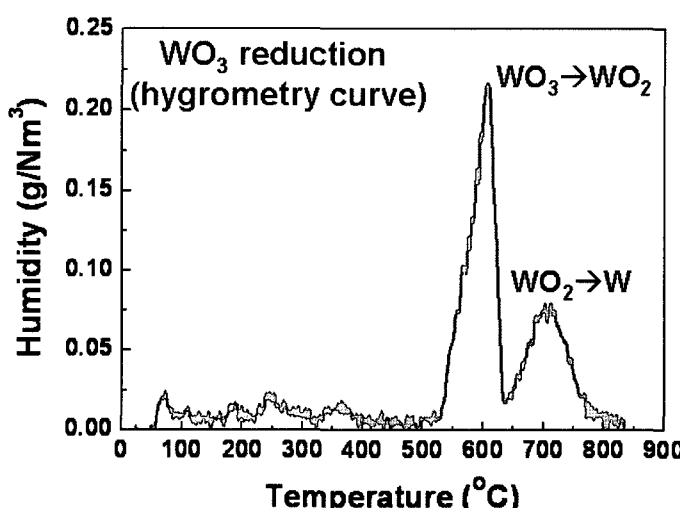


Fig. 1. The removal behavior of water vapor during hydrogen reduction of WO_3 nanopowder measured by in-situ hygrometry.

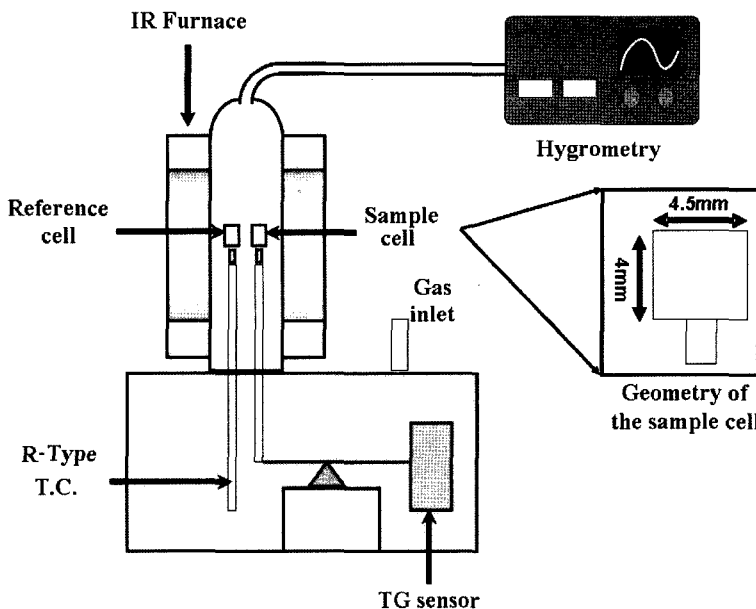


Fig. 2. Schematic diagram of TG analyzer for the investigation of hydrogen reduction behavior.

$\text{WO}_3 \rightarrow \text{WO}_2$, $\text{WO}_2 \rightarrow \text{W}$ 두 단계의 환원과정을 거치게 되는데, 이것은 hygrometry curve에서 각각의 반응에 상응하는 두 개의 수증기 피크를 통해 확인이 가능하였다. 승온속도에 따라 차이는 있지만, 첫 번째 수증기 피크는 약 600°C 에서 형성되었고, 두 번째 피크는 약 700°C 에서 형성되었다. 수소환원시 수증기 피크의 면적을 통해서 환원량(α)을 알 수 있기 때문에 hygrometry를 이용하여 얻은 수증기 피크의 총면적을 10%씩 나눈 후, 각각에 대응하는 온도를 T_i 값으로 나타냈고, WO_3 전체 환원반응에 대해서 10%씩 구간을 나누어 각 환원구간에 대한 활성화 에너지를 계산할 수 있다.

3. 실험방법

본 연구에서는 출발분말로서 W 산화물은 대한중석의 순도 99.6%의 청색 W 산화물(W blue oxide, WO_3)을 사용하였고, Cu 산화물은 순도 99.9%의 일본 고순도 화학연구소사의 cupric oxide(CuO) 분말을 사용하였다. CuO 분말의 평균입도는 $1\text{ }\mu\text{m}$ 였으며 WO_3 분말의 평균입도는 $75\text{ }\mu\text{m}$ 였다. 원료분말인 WO_3 와 CuO 분말은 최종 조성이 각각 W, W-1 wt%Cu, W-5 wt%Cu를 만족하도록 청량하여 3차원

혼합기에서 30분 동안 건식혼합을 실시하였다. 혼합을 실시한 분말은 attritor 내에서 300 r.p.m의 회전 속도로 1시간 동안 볼밀링을 실시하였다. 이 때, 산화물 입자의 응집현상을 방지하기 위한 PCA(process control agent)로서 메틸알코올을 사용하였다. 볼밀링이 끝난 시료는 60°C 의 오븐에서 12시간 동안 전조하였고, 전조된 분말은 100 mesh 망을 이용하여 체질을 실시하였다.

볼밀한 $\text{WO}_3\text{-CuO}$ 혼합분말의 환원은 그림 2에 나타낸 thermogravimetry(TG)를 이용하여 고순도의 수소(5N) 분위기에서 진행하였다. 각 조성에 대해서 5, 7, 10, 12, $15^\circ\text{C}/\text{min}$ 의 승온속도로 환원을 실시하였고, TG에 hygrometry를 장착하여 환원시 발생되는 수증기를 실시간으로 측정하였다. 또한 WO_3 의 환원에 대하여 Kissinger method를 이용하여 각 구간에서의 활성화 에너지를 구함으로써 WO_3 의 환원에 미치는 Cu의 영향을 정량적으로 확인하였다.

4. 결과 및 고찰

그림 3은 각 조성에서 환원량 α 값을 구하기 위해 $5^\circ\text{C}/\text{min}$ 의 승온속도 조건에서 얻은 hygrometry 곡선이다. Hygrometry curve는 환원시 방출되는 수

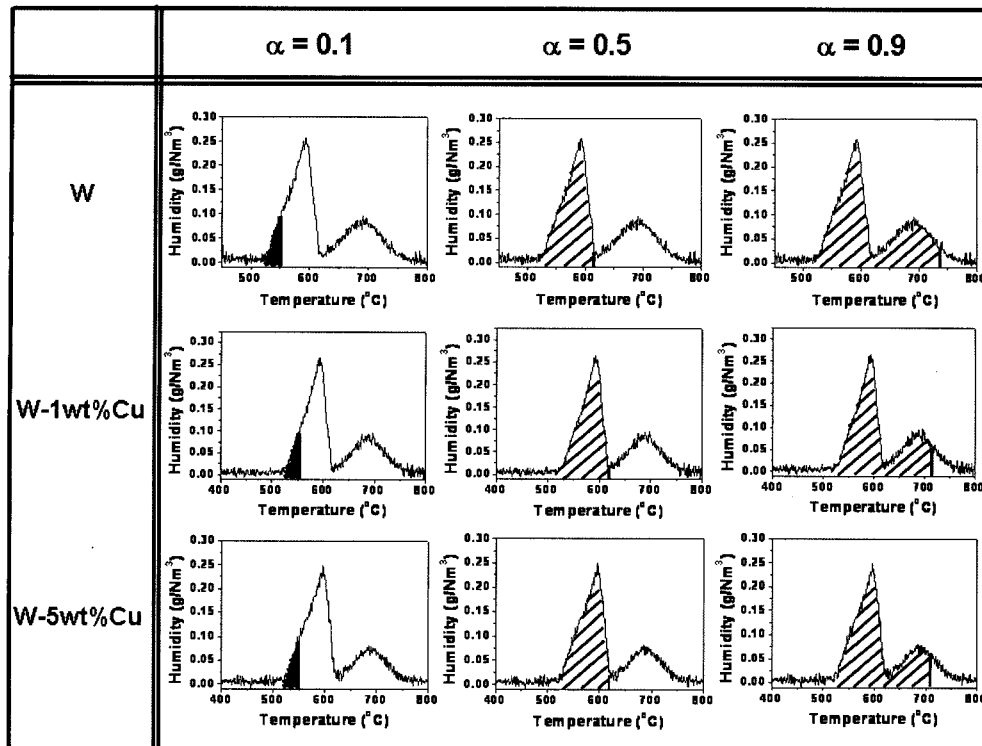


Fig. 3. The method to obtain the reduction percent(α) values from hygrometry curves with varying composition.

증기를 측정하여 얻었으며, WO_3 의 환원시 형성되는 피크를 적분하여 면적을 계산하였다. 2절에서 기술하였듯이, hygrometry 곡선의 면적을 통하여 환원량을 알 수 있고, 이를 바탕으로 WO_3 환원 피크에 해당하는 총면적을 100%의 환원량으로 간주하였다. Hygrometry 곡선에서 WO_3 환원 피크의 면적을 10%~90%까지 나누었고, 각 α 값에 대응하는 T_i 값을 구하였다. 이를 통해 각 α 값에 따른 활성화 에너지를 구함으로써 각 환원구간에 대한 WO_3 의 활성화 에너지 변화를 정량적으로 확인할 수 있었다.

그림 4는 Cu의 조성과 승온속도에 따라 각 α 값에 대응하는 T_i 값을 Eq. (1-1)에 적용하여 각 구간별로 활성화 에너지를 구하기 위해 나타낸 결과이다. 그래프에서 $0 < \alpha < 0.4$ 범위까지는 각 승온속도에 따른 직선의 기울기가 유사하였으나, $0.6 < \alpha < 1$ 범위에서 직선의 기울기가 변화되었음을 확인할 수 있었다. 주목할 만 한 점은 모든 Cu 조성에서 α 값이 0.5~0.6 구간일 때 기울기가 크게 변화하고 있다 는 점이다. 일반적으로 $WO_3 \rightarrow W$ 환원과정은 W_{3-x} ,

WO_2 등의 중간상들이 생성되는 단계를 거쳐 W으로 환원이 종료된다.^{7,8)} 이러한 점에서 그림 5의 결과는 W_{3-x} , WO_2 와 같은 중간상들이 존재되어 서로 다른 환원과정으로 반응이 중첩되어 일어나기 때문이라고 생각된다. 따라서 기울기의 불연속 천이가 발생되는 구간에서는 Kissinger method에 의한 활성화 에너지는 구할 수 없었다.

이상의 측정결과(그림 4)에서 얻은 각 환원량에 대한 기울기 값을 Eq. (1-1)에 적용하여 각각의 Cu 조성에서 α 값에 따른 활성화 에너지를 계산하였고, 이를 그림 5에 나타내었다. 결과에서 보는 바와 같이, 순수 나노 WO_3 의 경우, 활성화 에너지는 129~139 kJ/mol로 계산되었는데, 이는 N.E. Fouad 등⁸⁾에 의해 서 발표된 WO_3 의 수소환원 활성화 에너지 값인 101~134 kJ/mol과 유사하였다.

WO_3 의 환원과정에서 WO_2 로 환원되는 경우, 이론적인 계산을 통해 산소의 무게는 약 35% 감소된다는 것을 알 수 있다. 따라서 $0 < \alpha < 0.4$ 범위는 WO_3 가 WO_2 로 환원되는 구간으로 예상할 수 있고,

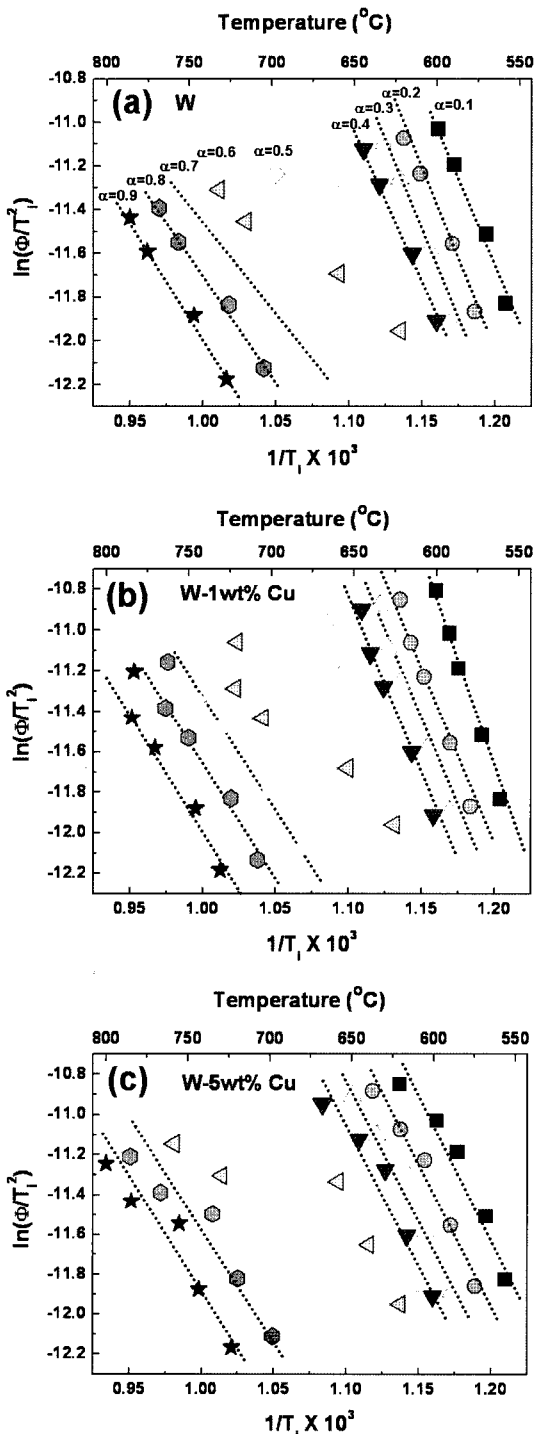


Fig. 4. $1/T_i$ vs. $\ln(\Phi/T_i^2)$ graphs with varying reduction percent(α), heating rate and Cu content; (a) W, (b) W-1 w%Cu and (c) W-5 wt%Cu.

$0.6 < \alpha < 1$ 범위는 WO_3 가 W으로 환원되는 구간으로 간주할 수 있다. 이러한 점에서 WO_3 의 환원과정은 α 값에 따라 두 개의 반응구간으로 나눌 수 있다. 먼저 $\text{WO}_3 \rightarrow \text{W}$ 환원시 활성화 에너지는 α 값이 0.1~0.4 범위의 경우, Cu가 1wt%, 5t% 첨가되었을 때 모두 약 10% 증가한 약 155 kJ/mol이었다. 이에 대한 해석으로는 먼저 환원된 Cu의 영향을 생각할 수 있다. 즉, 환원된 Cu 입자들은 서로 소결되어 후속되는 WO_3 의 환원반응을 억제하는데, 이는 환원시 발생하는 H_2O 의 이동경로를 막아 분말내부의 H_2O 분압이 증가되어 후속되는 WO_3 의 환원반응을 억제함으로써 약 10%의 활성화 에너지 증가가 나타난 것이라 판단된다. 또한 기울기의 불연속 천이구간을 지나 α 값이 0.6~0.9 범위에서는 Cu 조성이 5wt%까지 증가하면서 $\text{WO}_{2-x} \rightarrow \text{W}$ 환원시 활성화 에너지는 순수 $\text{WO}_2 \rightarrow \text{W}$ 환원시의 활성화 에너지인 80 kJ/mol보다 약 30% 증가한 115 kJ/mol로 계산되었다. 이것은 앞서 이미 소결된 Cu 입자들이 보다 고온에서 소결이 더욱 진행되어 환원시 발생된 H_2O 의 확산을 더욱 방해함으로써 초래된 결과로 해석될 수 있다. 따라서 WO_3 -CuO 복합분말의 수소환원반응에서, 환원된 Cu 상의 소결에 의해 발생가스의 이동이 방해되어 미세구조적으로 WO_3 의 환원반응을 억제함을 알 수 있었다.

5. 결 론

WO_3 -CuO 혼합분말의 수소환원시 WO_3 의 환원에 미치는 Cu의 영향을 각 환원구간에서의 활성화 에너지를 계산함으로써 정량적으로 조사하였다. WO_3 -CuO 나노복합분말의 환원시 $\text{WO}_3 \rightarrow \text{W}$ 환원은 α 값이 0.5~0.6 범위일 때 그래프의 기울기가 급변하였고, 이것은 WO_3 환원시 W_{3-x} , WO_2 등 중간상들이 혼재되어 서로 다른 환원과정을 거치고 있기 때문이라고 예상되었다. 순수 WO_3 환원시 활성화 에너지는 129~139 kJ/mol의 범위를 나타냈고, Cu 조성에 따른 활성화 에너지는 Cu 조성이 1wt%, 5wt%일 때 증가하였다. 이를 통해 WO_3 -CuO 복합분말의 환원시에는 Cu 입자가 WO_3 환원 시 촉매역할을 하는 것이 아니라, 소결된 Cu 입자들이 WO_3 의 환원시 발생되는 H_2O 의 이동경로를 막게 되고, 이로 인해 미세

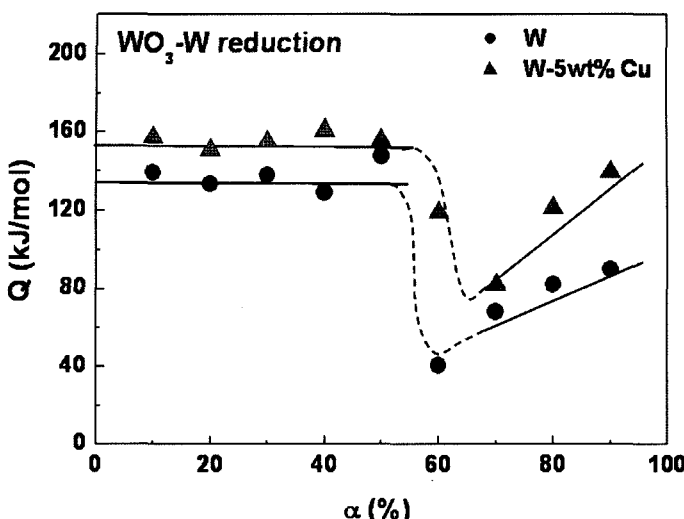


Fig. 5. Activation energy curves of WO_3 nanopowders with different Cu content, represented as a function of reduction percent(α) in the hydrogen reduction process.

구조적으로 WO_3 의 환원이 억제되는 것으로 판단되었다.

감사의 글

본 연구는 산업자원부 차세대 신기술 개발사업의 일환인 고기능성 나노분말소재 핵심기술 사업의 지원에 의하여 수행되었습니다.

참고문헌

- C. G. Goetzel, Treatise on Powder Metallurgy Vol. II, Interscience Publisher Inc., New York (1950).

- N. Furukawa, Powder Metallurgy, **33** (1990) 213.
- Y. Kai, C. Yamasaki, K. Yukihiko, and T. Okabe, Tungsten and Refractory Metals-1994, A. bose and R. Dowding(Eds.), Proc. of the 2nd Inter. Conf. on Tungsten and Refractory Metals, MPIF, Princeton, NJ, 1994, 228.
- J. S. Lee and T. H. Kim, Solid State Phenomena, **25&26** (1992) 143.
- J. S. Lee, T. H. Kim and T. G. Kang, Proc. of 1994 Powder Metallurgy World Congress, Paris, France **2** (1994) 1502.
- N. W. Hurst, S. J. Gentry, A. Jones, B. D. McNicol, Catal. Rev. Sci. Eng., **24** (1982) 233.
- N. E. Fouad, Jurnal of Analytical and Applied Pyrolysis, **44** (1997) 13.
- N. E. Fouad, K. M. E. Attyia and M. I. Zaki, Powder Technology, **74** (1993) 31.